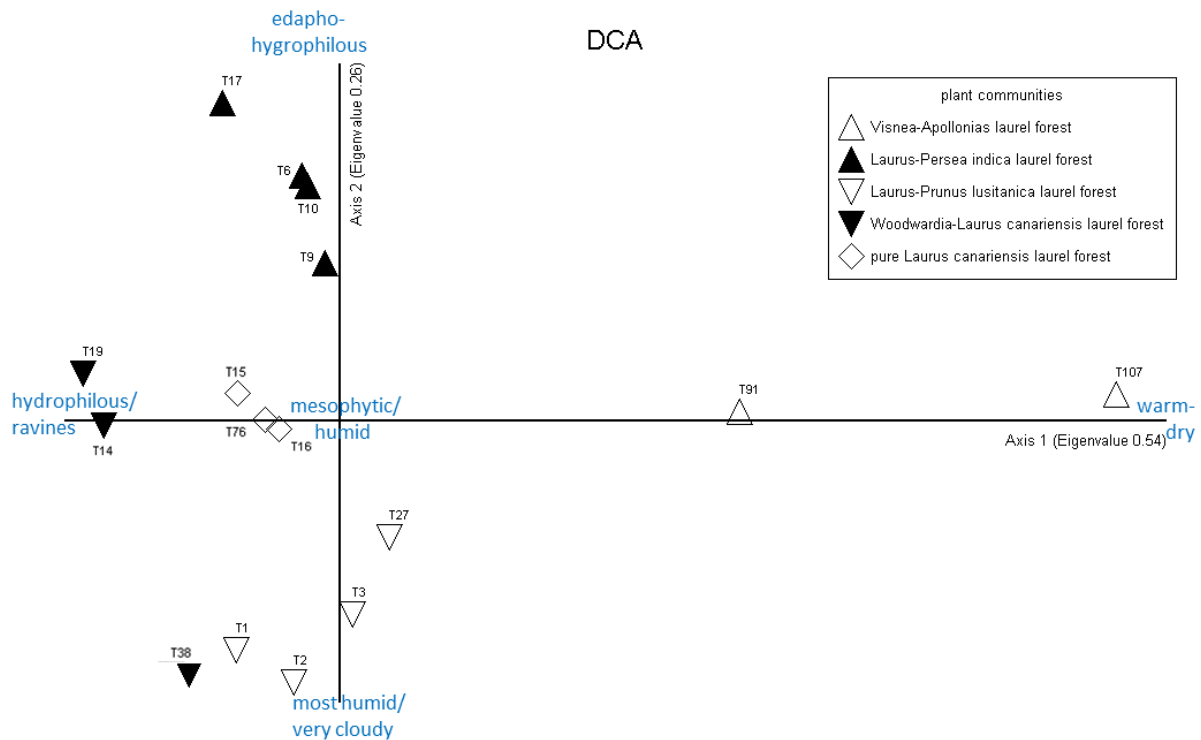


## 1. Ordination des Datensatzes von Gomera und Teneriffa

Auswertung von H. Walentowski auf Basis der Originalaufnahmen von E. OBERDORFER (1960, 1964), veröffentlicht in OBERDORFER (1965).



**Fig. 1.** DCA diagram of 16 laurel forest plots recorded by OBERDORFER in 1960 / 1964; for plot-ID's see Table 2. Ordination of the plots is based on cover values of in total 74 species. Length of gradients axis 1: 3.17 SD, axis 2: 1.78 SD.

Achse 1 hat einen Eigenwert von 0.54. Sie erklärt 57 % der floristischen Varianz im Datensatz (Tab. 2). Die Varianz wird aufgespannt zwischen den azonalen, nebligen, ganzjährig tiefend feuchten farnreichen Schluchtwäldern (*Lauro novocanariensis-Perseetum indicae*, Ausprägung mit *Woodwardia radicans*) bis zur Wärme- und Trockenheitsgrenze der Lorbeerwälder in den unteren, siedlungsnahen Lagen (*Visneo mocanero-Apollonietum barbujanae*).

Die zweite Achse erklärt weitere 11 % der floristischen Varianz im Datensatz (Tab. 1) Sie zeigt die Variabilität innerhalb des typischen klimazonalen, humiden Lorbeerwaldes (*Lauro novocanariensis-Perseetum indicae*) oberhalb 600 m ü. NN. Die Bandbreite reicht von der besonders an *Prunus lusitanica* subsp. *hixta*-reichen Ausprägung des Anaga-Gebirges bis hin zur besonders bodenfeuchtigkeitsbedürftigen Ausprägung mit *Heberdenia excelsa* und angereicherter *Persea indica*.

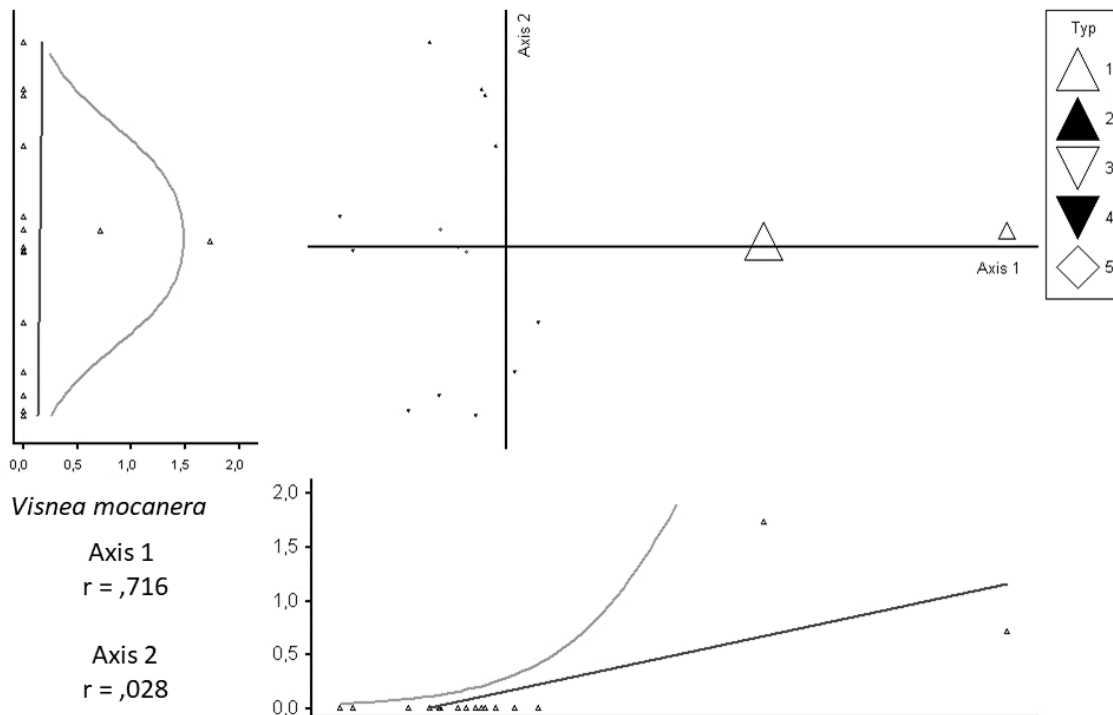
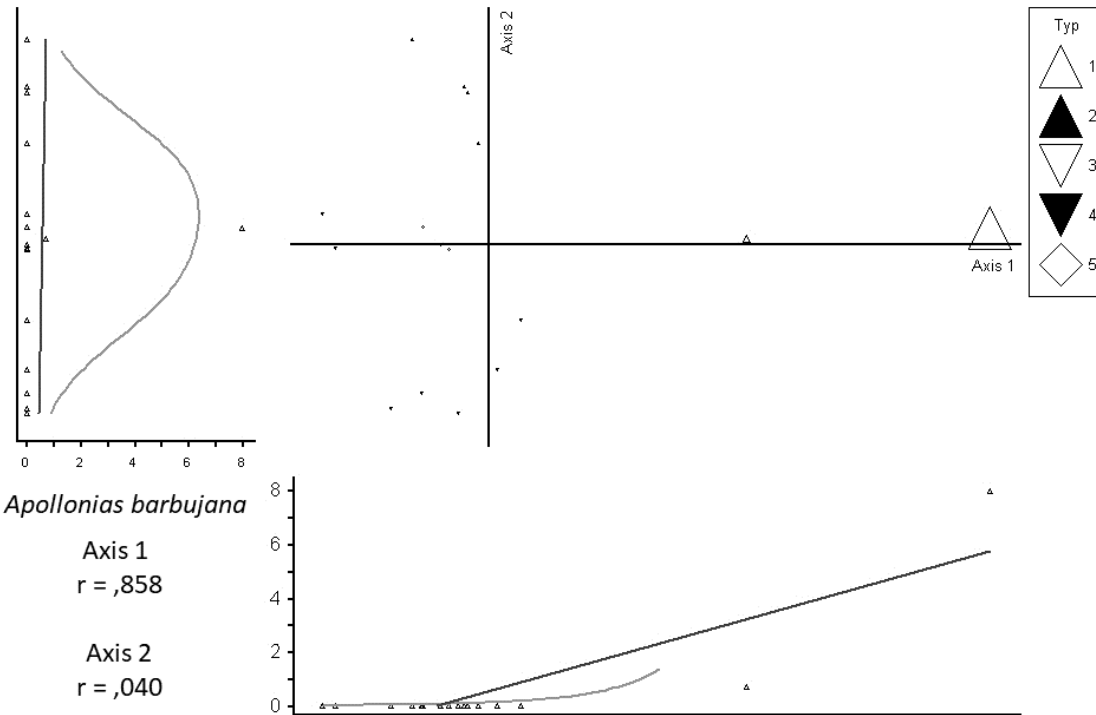
**Table 1.** Coefficient of determination ( $r^2$ ) of the regression between distance in ordination space and Sørensen-distance in the original floristic space (McCUNE & GRACE 2002).

**Tabelle 1.** Bestimmtheitsmaß ( $r^2$ ) der Regression zwischen der Distanz im Ordinationsraum und der Sørensen-Distanz im ursprünglichen floristischen Datensatz (McCUNE & GRACE 2002).

Axis	$r^2$	cumulative $r^2$
1	0.566	0.566
2	0.113	0.679
3	0.019	0.697

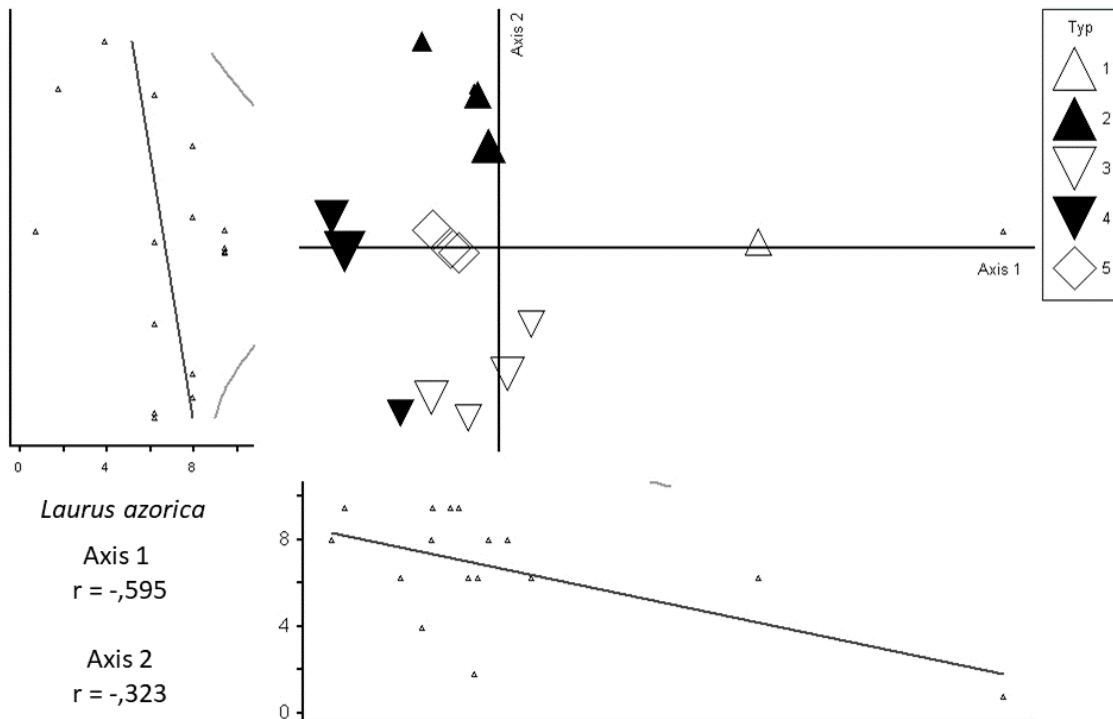
# Verbreitungsmodelle klimasensitiver Lorbeerwaldarten:

## 1.) thermophytische Lorbeerwaldarten (positiv korreliert mit der 1. Achse [Axis 1])

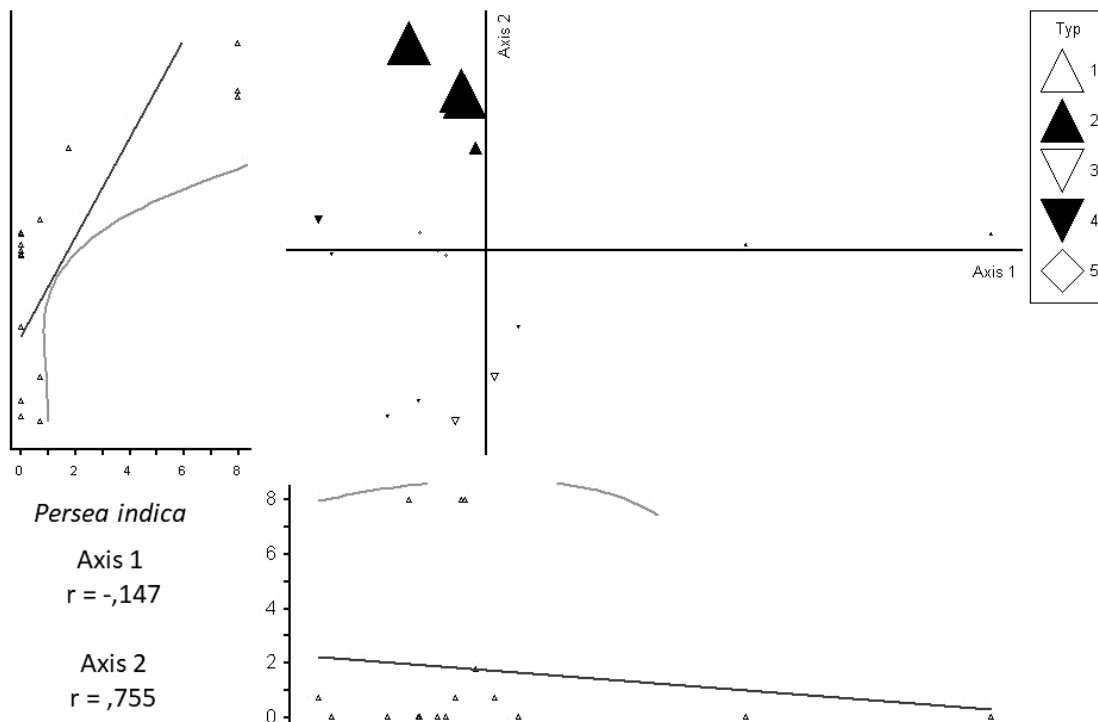


## 2. Mesophytische Lorbeerwald-Arten (mehr oder weniger negativ korreliert mit der ersten Achse [Axis 1])

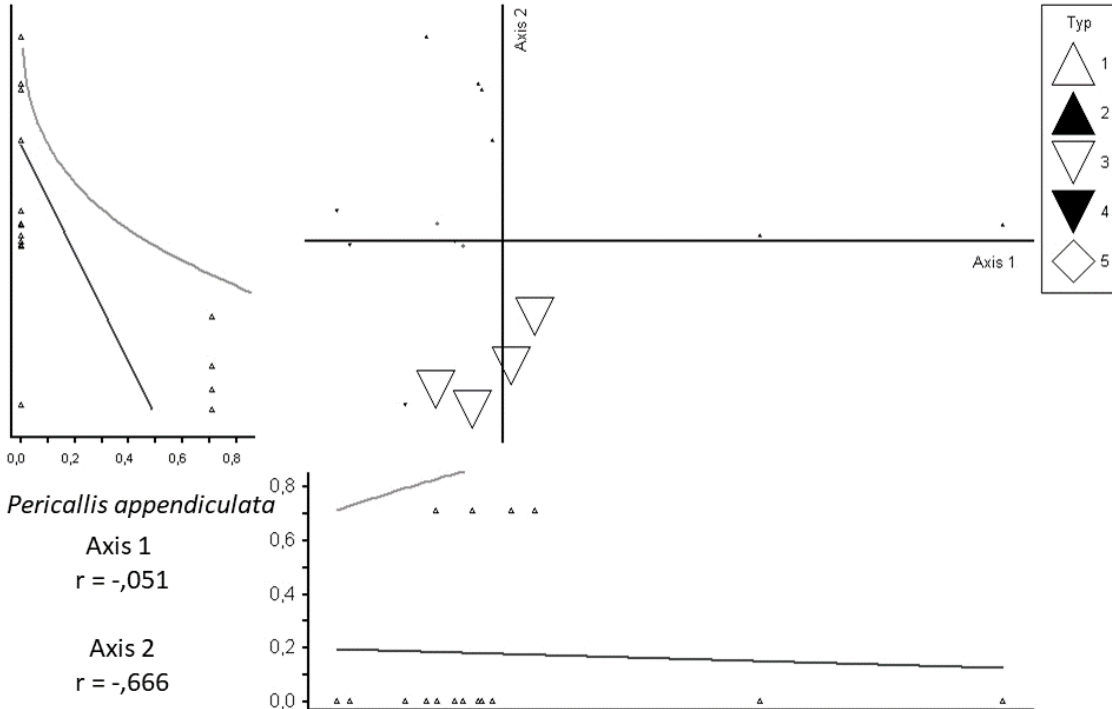
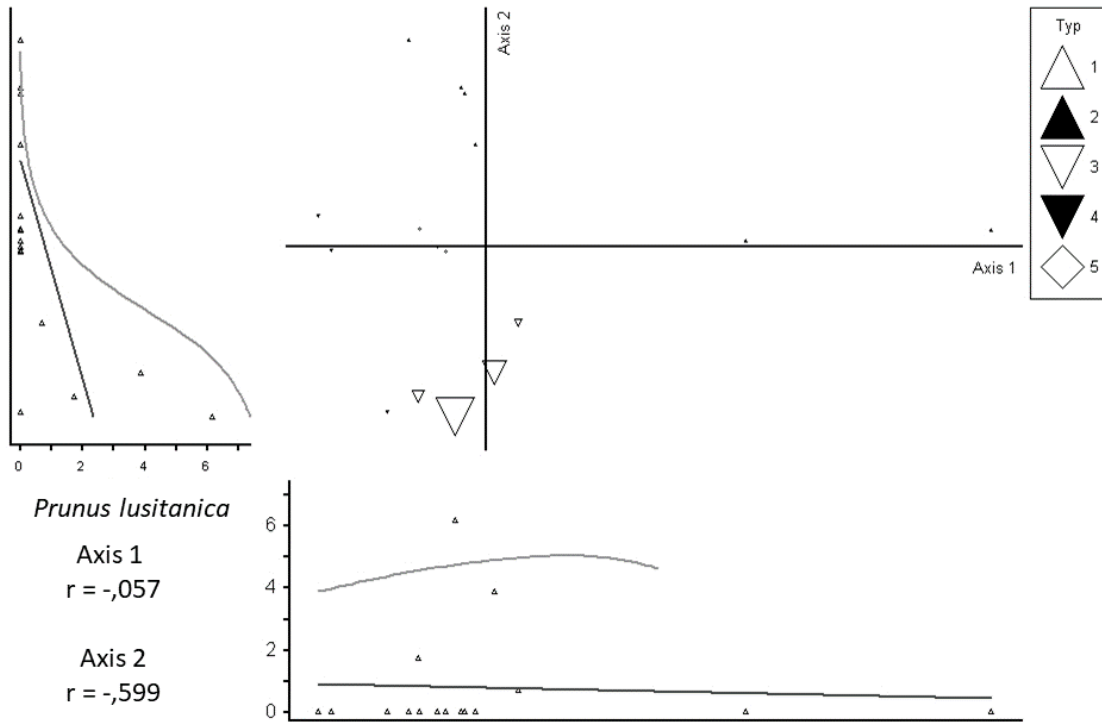
### 2.1 Frischezeiger



### 2.2 Bodenfeuchtezeiger (positiv korreliert mit der zweiten Achse [Axis 2])



2.3 Luftfeuchte/Nebelzeiger (negativ korreliert mit der zweiten Achse [Axis 2])



### 3. Schluchtwaldarten (negativ korreliert mit der ersten Achse [Axis 1])

